DOI: 10.32864/polymmattech-2025-11-3-28-35

УДК 669:678.06:544.72

РОЛЬ ЭНЕРГЕТИЧЕСКОГО СОСТОЯНИЯ ПОВЕРХНОСТИ НАНОЧАСТИЦ В ФОРМИРОВАНИИ СТРУКТУРЫ И СВОЙСТВ ПОЛИМЕРНЫХ НАНОКОМПОЗИТОВ

H. Р. ПРОКОПЧУК, И. О. ЛАПТИК[↑]

Белорусский государственный технологический университет, ул. Свердлова, 13а, 220006, г. Минск, Беларусь

Цель работы — определить величину тока на поверхности частиц TiO_2 , ZnO, Al_2O_3 , SiO_2 ; установить корреляцию между величиной тока, строением надмолекулярной структуры и свойствами полимерных композитов; выявить влияние заряда поверхности наночастиц на формирование структуры и на свойства полимерных композитов.

Объектами исследования являлись: модифицированные защитные антикоррозионные покрытия по стали на основе эпоксидно-диановой смолы ЭД-20, отвержденной новым отвердителем канифолетерпеностирольномалеиновым аддуктом; модельный состав для точного литья по выплавляемым моделям $3\Gamma B$ -101; наночастицы TiO_2 , ZnO, Al_2O_3 , SiO_2 . Определены значения термостимулированных токов (TCT, nA) на поверхности наночастиц: $TiO_2 = -4$; ZnO = -3.5; $Al_2O_3 = -2.0$; $SiO_2 = -1.0$. TCTстабильны в интервале температур 20-200 °С. Установлено увеличение гель-фракции (физического структурирования) антикоррозионных покрытий наночастицами в ряду $TiO_2 > ZnO > Al_2O_3 > SiO_2$. Максимальные физические взаимодействия ван-дер-ваальсового типа образуются наночастицами при сверхмалых количествах (0,005-0,010) мас.%. С увеличением концентрации до 0,02 мас.% всех наночастиц гель-фракция, твердость, адгезия, прочность при ударе покрытий убывают, повидимому, из-за уменьшения межмолекулярных взаимодействий за счет агломерации избыточных наночастиц. Наблюдается корреляция величин ТСТ на поверхности наночастиц, показателей гельфракции и физико-механических свойств покрытий. Химическая стойкость покрытий располагается в том же ряду: $TiO_2 > ZnO > Al_2O_3 > SiO_2$ и она достигает максимума при концентрации наночастии 0.01 мас.%. При наномодифицировании модельного состава ЗГВ-101 наблюдается улучшение важнейших эксплуатационных свойств: снижается линейная усадка и повышается теплостойкость модельного состава $3\Gamma B$ -101 в том же ряду $TiO_2 > ZnO > Al_2O_3 > SiO_2$ с максимальным эффектом при концентрации всех наночастиц 0,01 мас.%.

Ключевые слова: наночастицы, энергетическое состояние поверхности, антикоррозионные покрытия, модельный состав ЗГВ-101, гель-фракция, линейная усадка, теплостойкость.

Лля иитирования:

Прокопчук Н. Р., Лаптик И. О. Роль энергетического состояния поверхности наночастиц в формировании структуры и свойств полимерных нанокомпозитов // Полимерные материалы и технологии. 2025. Т. 11, № 3. С. 28–35. http://doi.org/10.32864/polymmattech-2025-11-3-28-35

For citation:

Prokopchuk N. R., Laptik I. O. Rol' energeticheskogo sostoyaniya poverkhnosti nanochastits v formirovanii struktury i svoystv polimemykh nanokompozitov [The role of the energy state of the nanoparticle surface in the formation of the structure and properties of polymer nanocomposites]. *Polimernye materialy i tekhnologii* [Polymer Materials and Technologies], 2025, vol. 11, no. 3, pp. 28–35. http://doi.org/10.32864/polymmattech-2025-11-2-28-35

^{*}Автор для переписки. E-mail: Inna.laptik@yandex.ru

^{*}Athor for correspondence. E-mail: Inna.laptik@yandex.ru

THE ROLE OF THE ENERGY STATE OF THE NANOPARTICLE SURFACE IN THE FORMATION OF THE STRUCTURE AND PROPERTIES OF POLYMER NANOCOMPOSITES

N. R. PROKOPCHUK, I. O. LAPTIK+

Belarusian State Technological University, Sverdlov St., 13a, 220006, Minsk, Belarus

The aim of the work is to determine the magnitude of the current on the surface of TiO_2 , ZnO, Al_2O_3 , SiO_2 particles; to establish a correlation between the magnitude of the current on the surface of nanoparticles, the structure of the supramolecular structure and the properties of composites; to identify the effect of the charge on the surface of nanoparticles on the formation of the structure and on the properties of polymer composites.

The objects of the study were: modified ones protective anticorrosive coatings on steel based on epoxydiane resin ED-20, cured with a new hardener rosin-styrene-oleic adduct; the model composition for precision casting on moldable ZGV-101 models, TiO2, ZnO, Al2O3, SiO2 nanoparticles. The values of thermally stimulated currents (TST) in pA on the surface of nanoparticles are determined: $TiO_2 = -4.0$; ZnO = -3.5; $Al_2O_3 = -2.0$; $SiO_2 = -1.0$. TST are stable in the temperature range of 20–200 °C. An increase in the gel fraction (physical structuring) of anticorrosive coatings with nanoparticles in the range $TiO_2 > ZnO > Al_2O_3 > SiO_2$ has been established. The maximum physical interactions of the Van der Waals type are formed by nanoparticles at extremely small amounts (0.005-0.010) wt.%. With an increase in concentration to 0.02 wt.% of all nanoparticles in the gel fraction, hardness, adhesion, and impact strength of coatings decrease, apparently due to a decrease in intermolecular interactions due to agglomeration of excess nanoparticles. There is a correlation between the values of TST on the surface of nanoparticles, the gel fraction and physico-mechanical properties of coatings. The chemical resistance of the coatings is in the same range: $TiO_2 > ZnO > Al_2O_3 > SiO_2$ and it reaches its maximum at a concentration of 0.01 wt.% nanoparticles. With the nanomodification of the model composition of ZGV-101, an improvement in the most important operational properties is observed: linear shrinkage decreases and the heat resistance of the model composition of ZGV-101 increases in the same range $TiO_2 > ZnO > Al_2O_3 > SiO_2$ with a maximum effect at a concentration of all nanoparticles of 0.01 wt.%.

Keywords: nanoparticles, energy state of the surface, anticorrosive coatings, model composition of ZGV-101, gel fraction, linear shrinkage, heat resistance.

Введение

Развитие новой техники и технологий требует создания изделий из металлов, защищенных антикоррозионными покрытиями с повышенной устойчивостью к внешним температурным и механическим воздействиям и агрессивным средам. Эту проблему экономически целесообразно решать наномодифицированием промышленных грунтовок и эмалей [1]. Использование наноразмерных частиц (10–100 нм) в защитных лакокрасочных материалах актуально, т. к. правильный выбор наномодификатора, его концентрации и способ введения позволяет значительно улучшить эксплуатационные свойства покрытий без изменения технологии их формирования с минимальным увеличением стоимости [2–3].

Физической основой наномодифицирования являются потенциальные возможности наночастиц с высокой поверхностной энергией образовывать ионные и координационные связи, ограничивающие подвижность звеньев и сегментов макромолекул, проявлять когезионные и адгезионные взаимодействия и др. [4]. Применение нанотехнологий и использование наноматериалов для улучшения

свойств различных композиций — важнейшее направление развития современного материаловедения [5-6]. Среди антикоррозионных покрытий широко применяются покрытия на основе эпоксидных смол (ЭС) [7-8]. Наличие в ЭС двух типов функциональных групп позволяет их отверждать отвердителями -- соединениями с аминогруппами, карбоксильными, ангидридными и другими функциональными группами. Наибольшее распространение получили отвердители аминного типа (алифатические, ароматические, гетероциклические амины и их производные). Покрытия, в которых используются такие отвердители, отличаются хорошими механическими свойствами и химической стойкостью. Однако амины токсичны. Кроме того, большой экзотермический эффект при отверждении приводит к местным перегревам и образованию внутренних напряжений в покрытиях. Несмотря на это такие покрытия широко применяются, но вместе с тем исследования процесса отверждения ЭС продолжаются [9]. Для получения нетоксичных эпоксидных композиций нами использован новый отвердитель — канифолетерпеностирольномалеиновый аддукт (КТСМА), получаемый из возобновляемого растительного сырья [10].

Возрастающие требования к металлургической и машиностроительной продукции стимулируют разработку новых высокоэффективных способов обработки металлов. Благодаря своим преимуществам по сравнению с другими способами изготовления отливок, метод литья по выплавляемым моделям получил значительное распространение [11–14]. Базовым вариантом нескольких типов составов является модельный состав (МС) ЗГВ-101 для точного литья по выплавляемым моделям, применяемый на ряде предприятий России и Беларуси. В работе [13] сформулированы основные требования к МС отливок особо ответственного назначения: их улучшенные теплостойкость и усадка.

На основании литературных данных [15–19] поставлена практическая задача: повысить устойчивость к температурным воздействиям и агрессивным средам антикоррозионных покрытий по стали на основе ЭС + КТСМА и МС 3ГВ-101 путем введения наночастиц TiO_2 , ZnO, Al_2O_3 , SiO_2 в полимерные матрицы.

Ранее при наномодифицировании эпоксидных покрытий по стали и ЗГВ-101 наночастицами TiO₂, ZnO было установлено существенное повышение стойкости полимерных композитов в агрессивных средах [1]. Была предложена гипотеза, объясняющая повышение твердости, прочности при ударе, адгезии, стойкости к воздействию жидкостей эпоксидных покрытий по стали, а также снижение усадки и повышение теплостойкости МС ЗГВ-101. Согласно этой гипотезе, наночастицы TiO₂ и ZnO, имея на своей поверхности нескомпенсированный электрический заряд, активно взаимодействуют с полярными группами ЭС и компонентами, входящими в МС ЗГВ-101. При этом образуются дополнительные физические взаимодействия к существующим в изученных композитах. В результате снижается молекулярная подвижность звеньев олигомерных молекул, что и приводит к повышению устойчивости композитов в агрессивных средах.

Цель работы — определить величину тока на поверхности частиц TiO_2 , ZnO, Al_2O_3 , SiO_2 ; установить корреляцию между величиной тока, строением надмолекулярной структуры и свойствами полимерных композитов; выявить влияние заряда поверхности наночастиц на формирование структуры и на свойства полимерных композитов.

Материалы и методы исследования

Для получения антикоррозионных покрытий по стали использовали композицию: ЭС ЭД-20 [7], новый отвердитель — канифолетерпеностирольномалеиновый аддукт (КТСМА) (рис. 1) [10].

КТСМА в своем составе имеет функциональные ангидридные и карбоксильные группы, необходимые для взаимодействия с эпоксидными и гидроксильными группами эпоксидной смолы для образования пространственной химически сшитой структуры покрытия. КТСМА —экологически безопасный продукт из возобновляемого лесохимического сырья. Состав КТСМА предположительно

представляет собой многокомпонентные сплавы малеопимаровой кислоты, аддуктов терпеновых углеводородов с малеиновым ангидридом, стирольномалеинового аддукта и смоляных кислот, не реагирующих с малеиновым ангидридом.

Рисунок 1 — Структурные формулы предполагаемых продуктов в отвердителе КТСМА: a — стиромаль; δ — малеопимаровая кислота; θ — аддукт α -терпинена и малеинового ангидрида [10] Fig. 1 — Structural formulas of the proposed products in the KTSMA hardener: a — styromal; δ — maleopimaric acid; θ — adduct of α -terpinene and maleic anhydride [10]

Объектами исследования стали МС ЗГВ-101 для точного литья по выплавляемым моделям («Завод горного воска», Беларусь), а также нанопорошки («Неbei Suoyi Material Technology», КНР), характеристика которых представлена в табл. 1. Наночастицы добавляли в количестве 0,005 мас.%; 0,010 мас.%; 0,020 мас.%.

Таблица 1 — Характеристики модифицирующих наночастиц
Table 1 — Characteristics of modifying nanoparticles

Химическая формула наночастиц	Размер наночастиц, нм	Площадь поверхности, м ² /г			
TiO ₂	20-30	20-50			
ZnO	30	20-50			
Al ₂ O ₃	30	30–60			
SiO ₂	30	25-50			

Из приведенных данных видно, что все исследованные наночастицы имеют практически равные размеры и площади удельной поверхности, что важно для оценки роли электрического заряда на поверхности наночастиц в формировании надмолекулярной структуры и свойств нанокомпозитов.

Все составы наносили на предварительно подготовленные металлические подложки с помощью аппликатора с толщиной мокрого слоя 100 мкм. В состав лакокрасочных композиций входили ЭС ЭД-20 (ГОСТ 10587), КТСМА и пластификатор, в качестве которого выступил ДЭГ-1 (ГОСТ 10136). Было установлено, что оптимальное количество пластификатора ДЭГ-1 в композиции составило 7% от массы смолы. Для обеспечения стехиометрического соотношения между функциональными группами смолы и отвердителя их массовое соотношение составило 3: 2. Для получения однородной массы при смешении смолы с отвердителем, последний растворяли в ацетоне при тщательном перемешивании. Формирование покрытия протекало в сушильном шкафу «SNOL 24/200 LSP 01» («SnolTherm», Литва) при температуре 120 °C в течение 45 мин. Так как в качестве растворителя использовался ацетон, то все покрытия предварительно сушили в естественных условиях (20 ± 2) °С в течение 1 ч.

Исследование энергетического состояния поверхности наночастиц проведено методом термостимулированных токов (ТСТ) на приборе «ST-1» («Микротестмашины», Россия) в интервале температур 20–200 °C.

Динамическую вязкость неотвержденных эпоксидных композиций измеряли на ротационном вискозиметре «Brookfield RVDV- II+Pro» («Brookfield Engineering Laboratories», США).

Адгезию эпоксидных покрытий определяли согласно ГОСТ 15140. Прочность при ударе эпоксидных покрытий определяли согласно ГОСТ 4765. Твердость эпоксидных покрытий определяли согласно ГОСТ 5233. Стойкость покрытий к статическому воздействию воды и 3%-ного водного раствора хлорида натрия определяли по ГОСТ 9.403. Определение температуры каплепадения и температуры размягчения проводили в соответствии с ГОСТ 15981 и ГОСТ 23863, усадку МС 3В-101 измеряли согласно ГОСТ 8.051.

Результаты и их обсуждение

Поскольку при проведении ТСТ-анализа использовали одну и ту же навеску наночастиц TiO₂,

ZnO, Al_2O_3 , SiO_2 , а частицы имели одинаковый размер и одинаковую площадь удельной поверхности, то величина TCT напрямую связана со значением электрического заряда на поверхности наночастиц (количество наночастиц в навеске образца одинаково). Следовательно, разница в значениях TCT обусловлена разницей электрического заряда на поверхности наночастиц TiO_2 , ZnO, Al_2O_3 , SiO_2 . На рис. 2 приведены температурные зависимости TCT для частиц TiO_2 , ZnO, Al_2O_3 , SiO_2 .

Рост значений ТСТ в ряду $TiO_2 > ZnO > Al_2O_3 > SiO_2$ свидетельствует о росте в этом же ряду количества носителей зарядов на поверхности наночастиц, которые способны физически взаимодействовать с полярными группами в макромолекулах ЭД-20 и функциональными группами компонентов, входящих в состав $3\Gamma B-101$. ТСТ стабильны в интервале температур 20-200 °C.

Для оценки влияния наночастиц на надмолекулярную структуру полимерной матрицы измеряли динамическую вязкость на ротационном вискозиметре «Brookfield RVDV-II+Pro». На рис. 3 представлены данные о влиянии различных наночастиц на динамическую вязкость полимерных композитов.

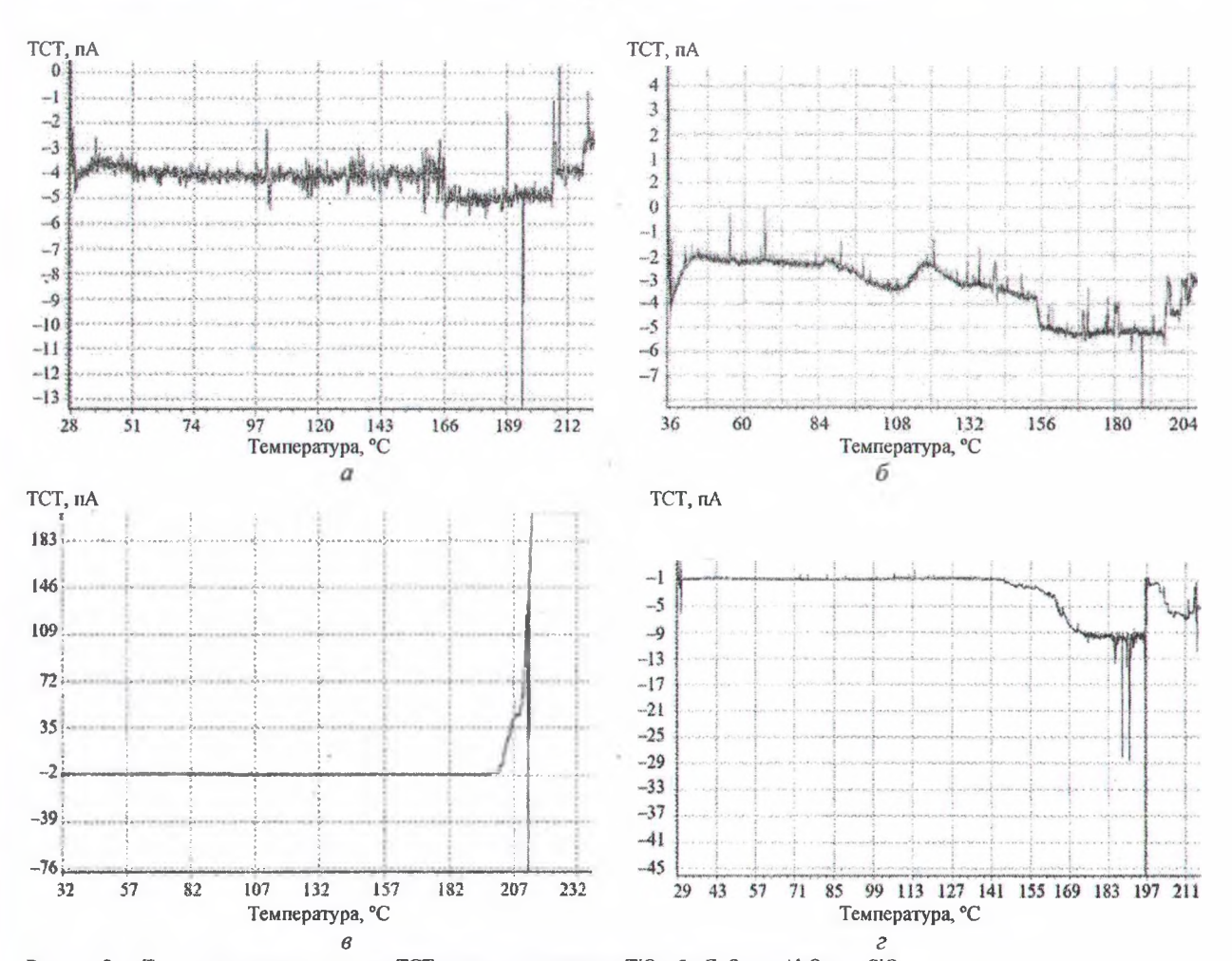


Рисунок 2 — Температурные зависимости TCT токов для частиц: a – TiO_2 ; δ – ZnO; ϵ – Al_2O_3 ; ϵ – SiO_2 Fig. 2 — Temperature dependences of thermally stimulated currents for particles: a – TiO_2 ; δ – ZnO; ϵ – Al_2O_3 ; ϵ – SiO_2

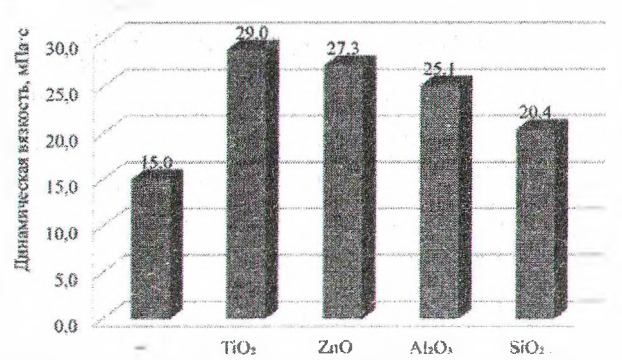


Рисунок 3 — Влияние наночастиц на динамическую вязкость композиций

Fig. 3 — The effect of nanoparticles on the dynamic viscosity of compositions

Видно, что под действием наночастиц динамическая вязкость существенно возрастает в том же ряду, что и значения TCT: $TiO_2 > ZnO > Al_2O_3 > SiO_2$. Затруднение вязкого течения под действием напряжений сдвига свидетельствует об усилении межмолекулярных взаимодействий ван-дер-ваальсового типа в композиции. Физические взаимодействия между наночастицами и эпоксидными и гидроксильными группами олигомерных молекул ЭД-20 требуют дополнительных механических напряжений для перемещения их друг относительно друга, что и приводит к повышению динамической вязкости.

Гель-фракция характеризует плотность сшивки макромолекул ЭС ЭД-20 молекулами отвердителя. При высокой плотности сшивки (густой равномерной сетчатой структуре) композиты характеризуются повышенной устойчивостью в агрессивных средах. Наночастицы, веденные в композиции, создают дополнительные к химическим поперечным связям физические взаимодействия между полярными группами ЭС и электрически заряженными поверхностями наночастиц. В результате гель-фракция возрастает, физико-механические свойства улучшаются.

Содержание гель-фракции в эпоксидных пленках представлены в табл. 2.

Из данных табл. 2 следует: чем выше заряд на поверхности наночастиц, тем выше гель-фракция отвержденных пленок. Оптимальная концентрация всех наночастиц 0,005 мас.%. С увеличением концентрации наночастиц гель-фракция убывает из-за уменьшения межмолекулярных взаимодействий за счет агломерации части наночастиц. Поскольку гель-фракция определялась при температуре кипения 56–69 ℃, а ТСТ стабильны до 200 °С, часть макромолекул ЭС, связанных наночастицами, не переходят в растворитель и гель-фракция увеличивается.

Таблица 2 — Гель-фракции G в эпоксидных пленках Table 2 — G gel fractions in epoxy films

Название наночастиц	Гель-фракция G, % эпоксидных пленок в зависимости от концентрации наночастиц, мас.%					
	0	0,005	0,01	0,02		
TiO ₂		33,5	22,4	15,3		
ZnO	6.5	27,3	17,5	14,5		
Al ₂ O ₃	6,5	18,4	12,3	11,8		
SiO ₂		15,7	12,2	10,6		

Влияние природы наночастиц на формирование комплекса физико-механических свойств защитных покрытий подтверждается данными табл. 3. Чем выше заряд на поверхности наночастиц, тем больше возрастают межмолекулярные взаимодействия в защитном покрытии и плотность покрытия, а, следовательно, растет и его твердость. Дополнительная эластичная физическая сетка выступает демпфером, принимает на себя механическую кинетическую энергию падающего бойка, и прочность покрытий при ударе возрастает с 30 см до 90 см. Заряженные поверхности наночастиц взаимодействуют с оксидом железа на поверхности металла. Адгезия эпоксидного покрытия улучшается, с 4-х до 1-го балла, препятствуя тем самым подпленочной коррозии.

Повышение химической стойкости покрытий к статическому воздействию воды и 3%-ного водного раствора хлорида натрия наночастицами подтверждается данными в табл. 4.

Чем больше заряд на поверхности наночастиц, тем сильнее межмолекулярное взаимодействие в покрытии, тем больше затруднена диффузия агрессивной среды к стальной поверхности, вызывающей ее коррозию.

Решающая роль заряда поверхности наночастиц разной природы проявляется также в снижении усадки и повышении теплостойкости модельного состава 3ГВ-101 (рис. 4).

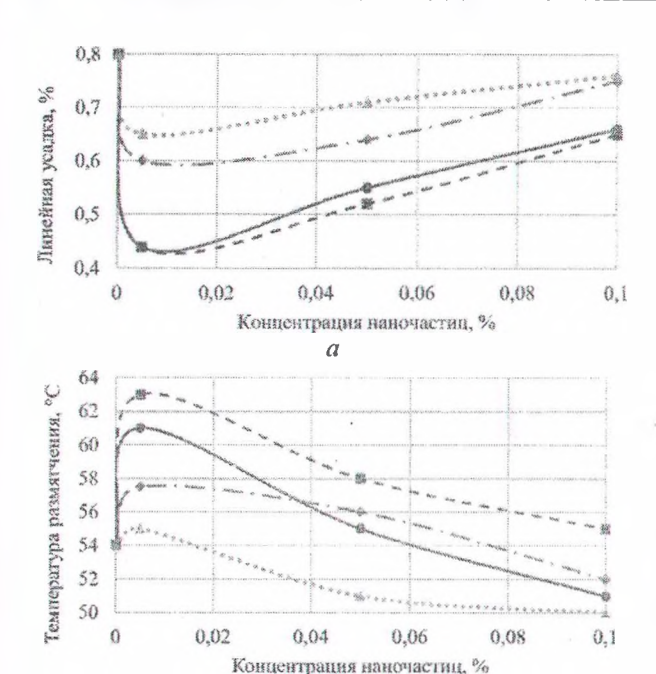
Оптимальной концентрацией всех наночастиц является концентрация 0,01 мас.%. При этой концентрации усадка снижается с 0,80% до 0,42% (TiO₂); с 0,80% до 0,43% (ZnO); с 0,80% до 0,60% (Al₂O₃); с 0,80% до 0,65% (SiO₂), т. е. чем больше заряд на поверхности наночастицы, тем больше снижается усадка. Температура размягчения повышается с 54 °C до 63 °C (TiO₂); с 54 °C до 61 °C (ZnO); с 54 °C до 58 °C (Al₂O₃); с 54 °C до 55 °C (SiO₂). Температура каплепадения по Уббеллоде повышается с 80 °C до 87 °C (TiO₂); с 80 °C до 86 °C (ZnO); с 80 °C до 85 °C (Al₂O₃); с 80 °C до 84 °C (SiO₂). Теплостойкость модельного состава 3ГВ-101 возрастает с ростом заряда на поверхности наночастиц.

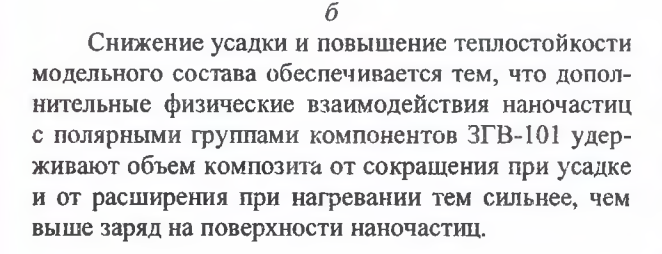
Таблица 3 — Физико-механические свойства защитных покрытий, модифицированных наночастицами
Table 3 — Physical and mechanical properties of protective coatings modified with nanoparticles

Физико-механические	Без наночастиц	ZnO, мас.%		ТіО₂, мас.%		Al ₂ O ₃ , мас.%			SiO ₂ , мас.%				
свойства		0,005	0,01	0,02	0,005	0,01	0,02	0,005	0,01	0,02	0,005	0,01	0,02
Твердость, отн. ед.	0,10	0,50	0,30	0,80	0,80	0,61	0,57	0,56	0,49	0,37	0,54	0,53	0,39
Адгезия, балл	4	2	1	1	1	1	1	2	2	2	2	2	2
Прочность при ударе, см	30	50	70	90	90	70	30	50	20	30	40	20	30

Таблица 4 — Химическая стойкость покрытий к статическому воздействию воды и 3%-ного водного раствора хлорида натрия
Table 4 — Chemical resistance of coatings to static effects of water and 3% aqueous sodium chloride solution

Содержание наночастиц, мас.% Без наночастиц		Стойкость к статическому возд	Адгезия.		
		вода	3%-ый водный p-p NaCl	баллы	
		5	4	4	
	0,005	9	7	1	
TiO ₂	0,010	8	9	1	
	0,020	8	6	1	
ZnO	0,005	6	5	2	
ZIIO	0,010	7	5	1	
	0,020	8	7	1	
	0,005	13	10	2	
Al ₂ O ₃	0,010	- 11	8	2	
	0,020	12	9	2	
SiO ₂	0,005	12	9	2	
	0,010	10	8	2	
	0,020	11	7	2	





Выводы

Показана решающая роль заряда поверхности наночастиц в формировании надмолекулярной структуры и свойств полимерных нанокомпозитов. Установлена корреляция: рост величины TCT на поверхности наночастиц в ряду $TiO_2 > ZnO > Al_2O_3 > SiO_2$ — увеличение значений гель-фракции в отвержденных эпоксидных пленках — улучшение свойств (адгезии, твердости, прочности при ударе, устойчивости к статическому воздействию воды и 3%-ного раствора хлорида натрия) защитных покрытий по стали на основе ЭС ЭД-20, отвержденной КТСМА, в том же ряду, что и введенные в них наночастицы.

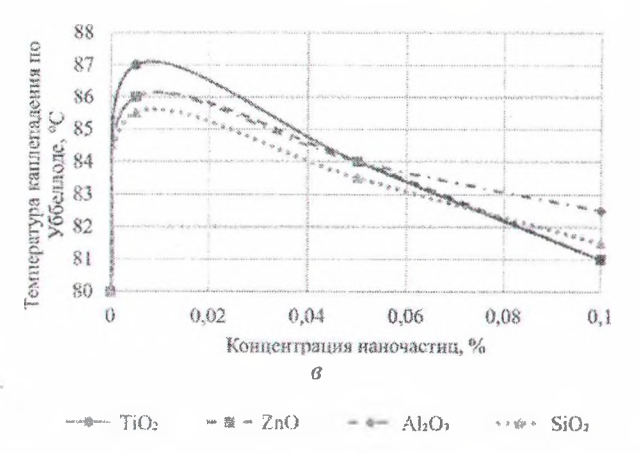


Рисунок 4 — Зависимость усадки (a), температуры размягчення (δ) и каплепадения (s) от концентрации наночастиц Fig. 4 — Dependence of shrinkage (a), softening temperature (δ), and drop-off (s) on the concentration of nanoparticles

Установлено, что чем выше заряд на поверхности наночастиц, введенных в МС ЗГВ-101, тем его усадка ниже, а теплостойкость выше.

Подтвержден предложенный нами ранее механизм наномодифицирования полимерных композиций [1].

Объяснено влияние наночастиц на повышение устойчивости к механическим воздействиям и агрессивным средам антикоррозионных покрытий на основе ЭД-20 и МС ЗГВ-101.

Благодарности

ТСТ измерены в Гродненском государственном университете им. Янки Купалы доцентом А. С. Антоновым.

Работа финансировалось в рамках НИР ГПНИ «Материаловедение, новые материалы и технологии», Подпрограмма «Многофункциональные и композиционные материалы», задание 4.1.27 «Разработка научных основ и создание для точного литья металлических изделий по выплавляемым моделям, модельные составы и технологию их производства, отли-

чающиеся повышенной теплостойкостью и пониженной усадкой на основе олигомерных термопластичных матриц, полифункциональных продуктов переработки сосновой живицы и наноразмерных частиц различной химической природы».

Обозначения

ДЭГ-1 — диэтиленгликоль; КТСМА — канифолетерпеностирольномалеиновый аддукт; МС — модельный состав; ТСТ — термостимулированные токи; ЭС — эпоксидная смола.

Литература

- Прокопчук Н. Р., Глоба А. И., Лаптик И. О., Сырков А. Г. Улучшение свойств покрытий по металлу наноалмазными частицами // Цветные металлы. 2021. № 6. С. 50–54. doi: 10.17580/tsm.2021.06.07
- Jeevanandam J., Barhoum A., Chan Y. S., Dufresne A., Danquah M. K. Review on nanoparticles and nanostructured materials: history, sources, toxicity and regulations // Beilstein J. Nanotechnol, 2018, no. 9, pp. 1050–1074. doi: 10.3762/bjnano.9.98
- Polymer nanocomposites additives, properties, applications, environmental aspects / NanoTrust, Austrian Academy of Sciences // Nanowerk. Mar 10, 2021 [Электронный ресурс]. URL: https://www.nanowerk.com/spotlight/spotid=57487.php (дата обращения: 07.07.2025).
- Bailey E. J., Winey K. I. Dynamics of polymer segments, polymer chains, and nanoparticles in polymer nanocomposite melts: A review // Progress in Polymer Science, 2020, vol. 105. doi:10.1016/j.progpolymsci.2020.101242

 Konchus D. A., Sivenkov A. V. A surface structure formation of stainless steel using a laser // Materials Science Forum, 2021, vol. 1022, pp. 112–118. doi: 10.4028/www.scientific.net/MSF.1022.112

- Syzrantsev V. V. Analysis of the variations in the surface properties of SiO₂ and Al2O₃ nanoparticles obtained by different synthesis methods // Condensed Matter and Interphases, 2022, vol. 24, no. 3, pp. 369–378. doi: 10.17308/kcmf.2022.24/9860
- Сызранцев В. В. Вариация свойств отвержденной эпоксидной смолы с наночастицами различных методов синтеза // Нанофизика и наноматериалы : сборник научных трудов международного симпозиума, Санкт-Петербург, Россия, 23—24 ноября 2022. Санкт-Петербург : Санкт-Петербургский горный университет, 2022. С. 280—285.
- Сызранцев В. В. Улучшение свойств полимерной эпоксидной матрицы добавками нанооксидов алюминия и кремния // Цветные металлы. 2023. № 8. С. 34–38.
- Long He, Lei Liu, Chang Cao, Feng Jiang, Jun Xu. Improved curing performances of epoxy resin by a structure-controllable self-emulsifying curing agent // Journal of Adhesion Science and Technology, 2022, vol. 36, pp. 490-506. doi: 10.1080/01694243.2021.1929003
- Клюев А. Ю., Прокопчук Н. Р. Новые направления переработки и использования сосновой живицы. Минск: БГТУ, 2020. 412 с.
- Алхимова В. А., Шарапова Д. М. Коррозия и способы защиты насосно-компрессорных труб в нефтегазовой области //
 Нанофизика и наноматериалы : сборник научных трудов международного симпозиума, Санкт-Петербург, Россия, 23—24 ноября 2022. Санкт-Петербург : Санкт-Петербургский горный университет, 2022. С. 21—26.
- Пожидаева С. Д., Агеева Л. С., Иванов А. М. Сравнительная характеристика окисления цинка и олова с участием кислот при комнатных температурах // Записки Горного института. 2019. Т. 235. С. 38–46. doi: 10.31897/PMI.2019.1.38
- Репях С. И. Требования к модельным составам отливок особо ответственного назначения // Металл и литье Украины. 2010. № 11. С. 10–17.
- 14. Болобов В. И., Кувшинкин С. Ю. Материаловедение. Стали с особыми свойствами. Цветные металлы. Неметаллические материалы: учебное пособие. Санкт-Петербург: Нац. минерально-сырьевой ун-т "Горный", 2014. 94 с.
- 15. Zhao Y., Xu J.-B., Zhanc J., Chen Y.-Q., Hu J.-M.

Electrodeposited superhydrophobic mesoporous silica films coembedded with template and corrosion inhibitor for active corrosion protection // Applied Surface Science, 2020, vol. 508. doi: 10.1016/j.apsusc.2019.145242

- 16. Рассохина Л. И., Парфенович П. И., Нарский А. Р. Проблемы создания модельных композиций нового поколения на базе отечественных материалов для изготовления лопаток ГТД // Новости материаловедения. Наука и техника: электронный научный журнал. 2015. № 3 (15). С. 38–42 [Электронный ресурс]. URL: https://www.elibrary.ru/download/elibrary_23697372_40750405.pdf (дата обращения: 10.05.2025).
- Petrov G. V., Shneerson Ya. M., Andreev Yu. V. Extraction of platinum metals during processing of chromium ores from dunnite deposits // Journal of Mining Institute, 2018, vol. 231, pp. 281–286. doi: 10.25515/PMI.2018.3.281
- Syzyakov V. M., Brichkin V. N. About the Role of Hydrated Calcium Carboaluminates in Improving The Technology of Compex Processing of Nephelines // Journal of Mining Institute, 2018, vol. 231, pp. 292–298. doi: 10.25515/PMI.2018.3.292
- Aleksandrova T. N., Heide G., Afanasova A. V. Assessment of refractory gold-bearing ores based of interpretation of thermal analysis data // Journal of Mining Institute, 2019, vol. 235. pp. 30–37. doi: 10.31897/PMI.2019.1.30

References

 Prokopchuk N. R., Globa A. I., Laptik I. O., Syrkov A. G. Uluchshenie svoystv pokrytiy po metallu nanoalmaznymi chastitsami [The properties of metal coatings enhanced with diamond nanoparticles]. *Tsvetnye metally* [Non-ferrous metals], 2021, no. 6, pp. 50–54. doi: 10.17580/tsm.2021.06.07

 Jeevanandam J., Barhoum A., Chan Y. S., Dufresne A., Danquah M. K. Review on nanoparticles and nanostructured materials: history, sources, toxicity and regulations. *Bellstein J. Nanotechnol*, 2010.

2018, no. 9, pp. 1050-1074. doi: 10.3762/bjnano.9.98

 Polymer nanocomposites – additives, properties, applications, environmental aspects (2021). Available at: https://www.nanowerk.com/spotlight/spotid=57487.php (accessed 07.07.2025).

- Bailey E. J., Winey K. I. Dynamics of polymer segments, polymer chains, and nanoparticles in polymer nanocomposite melts: A review. *Progress in Polymer Science*, 2020, vol. 105. doi: 10.1016/j.progpolymsci.2020.101242
- Konchus D. A., Sivenkov A. V. A surface structure formation of stainless steel using a laser. Materials Science Forum, 2021, vol. 1022, pp. 112-118. doi: 10.4028/www.scientific.net/MSF.1022.112
- Syzrantsev V. V. Analysis of the variations in the surface properties of SiO₂ and Al₂O₃ nanoparticles obtained by different synthesis methods. *Condensed Matter and Interphases*, 2022, vol. 24, no. 3, pp. 369-378. doi: 10.17308/kcmf.2022.24/9860
- 7. Syzrantsev V. V. Variatsiya svoystv otverzhdennoy epoksidnoy smoly s nanochastitsami razlichnykh metodov sinteza [Variation of properties of cured epoxy resin with nanoparticles of different synthesis methods]. Sbornik nauchnykh trudov mezhdunarodnogo simpoziuma «Nanofizika i nanomaterialy» [Proceedings of the International Symposium "Nanophysics and Nanomaterials"]. Saint-Petersburg: Sankt-Peterburgskiy gornyy universitet Publ., 2022, pp. 280-285.
- 8. Syzrantsev V. V. Uluchshenie svoystv polimernoy epoksidnoy matritsy dobavkami nanooksidov alyuminiya i kremniya [Improving the properties of a polymer epoxy matrix with additives of aluminum and silicon nanoxides]. Tsvetnyye metally [Nonferrous metals], 2023, no. 8, pp. 34–38
- Long He, Lei Liu, Chang Cao, Feng Jiang, Jun Xu. Improved curing performances of epoxy resin by a structurecontrollable self-emulsifying curing agent. *Journal of Adhe*sion Science and Technology, 2022, vol. 36, pp. 490-506. doi: 10.1080/01694243.2021.1929003
- Klyuev A. Yu., Prokopchuk N. R. Novye napravleniya pererabotki i ispol'zovaniya sosnovoy zhivitsy [New directions of processing and use of pine resin]. Minsk: BGTU Publ., 2020. 412 p.
- Alkhimova V. A., Sharapova D. M. Korroziya i sposoby zashchity nasosno-kompressornykh trub v neftegazovoy oblasti [Corrosion and methods of protection of pumping and compressor

- pipes in the oil and gas industry]. Sbornik nauchnykh trudov mezhdunarodnogo simpoziuma «Nanofizika i nanomaterialy» [Proceedings of the International Symposium "Nanophysics and Nanomaterials"]. Saint-Petersburg: Sankt-Peterburgskiy gornyy universitet Publ., 2022, pp. 21-26.
- Pozhidaeva S. D., Ageeva L. S., Ivanov A. M. Sravnitel'naya kharakteristika okisleniya tsinka i olova s uchastiem kislot pri komnatnykh temperaturakh [Comparative analysis of zinc and tin oxidation with acids at room temperatures]. Zapiski Gornogo instituta [Journal of Mining Institute], 2019, vol. 235, pp. 38-46. doi: 10.31897/PMI.2019.1.38
- Repyakh S. I. Trebovaniya k model'nym sostavam otlivok osobo otvetstvennogo naznacheniya [Requirements for model compositions of castings for especially critical purposes]. *Metall i lit'e Ukrainy* [Metal and casting of Ukraine], 2010, no. 11, pp. 10-17.
- Bolobov V. I., Kuvshinkin S. Yu. Materialovedenie. Stali s osobymi svoystvami. Tsvetnye metally. Nemetallicheskie materialy [Materials science. Steels with special properties. Non-ferrous metals. Nonmetallic materials]. Saint-Petersburg: Natsional'nyy mineral'nosyr'evoy universitet "Gornyy" Publ., 2014. 94 p.
- Zhao Y., Xu J.-B., Zhanc J., Chen Y.-Q., Hu J.-M. Electrodeposited superhydrophobic mesoporous silica films coembedded with template and corrosion inhibitor for active corrosion

- protection. Applied Surface Science, 2020, vol. 508. doi: 10.1016/j.apsusc.2019.145242
- 16. Rassokhina L. I., Parfenovich P. I., Narskiy A. R. Problemy sozdaniya model'nykh kompozitsiy novogo pokoleniya na baze otechestvennykh materialov dlya izgotovleniya lopatok GTD [The issues of developing model compositions of new generation on the basis of domestic materials for the manufacture of gas turbine engine blades]. Novosti materialovedeniya. Nauka i tekhnika: elektronnyy nauchnyy zhumal [News of materials science. Science and technology], 2015, no. 3 (15), pp. 38–42. Available at: https://www.elibrary.ni/download/elibrary_23697372_40750405.pdf (accessed 10.05.2025).
- Petrov G. V., Shneerson Ya. M., Andreev Yu. V. Extraction of platinum metals during processing of chromium ores from dunnite deposits. *Journal of Mining Institute*, 2018, vol. 231, pp. 281–286. doi: 10.25515/PMI.2018.3.281
- Syzyakov V. M., Brichkin V. N. About the Role of Hydrated Calcium Carboaluminates in Improving The Technology of Compex Processing of Nephelines. *Journal of Mining Institute*, 2018, vol. 231, pp. 292–298. doi: 10.25515/PMI.2018.3.292
- Aleksandrova T. N., Heide G., Afanasova A. V. Assessment of refractory gold-bearing ores based of interpretation of thermal analysis data. *Journal of Mining Institute*, 2019, vol. 235. pp. 30-37. doi: 10.31897/PMI.2019.1.30